2022. Tom 63, № 3

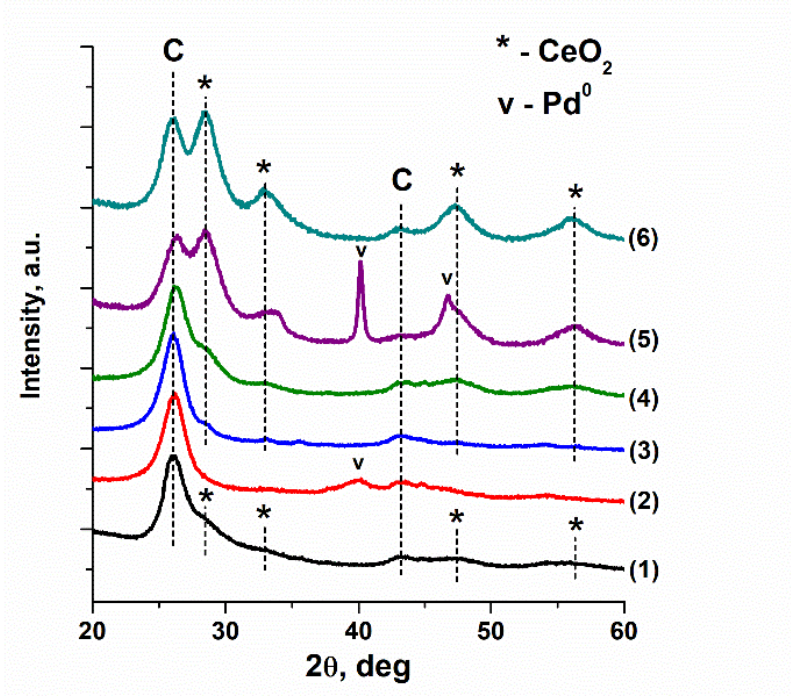
Mapm

DOI: 10.26902/JSC id89211

дополнительные материалы к статье ПРИМЕНЕНИЕ АЗОТСОДЕРЖАЩИХ УГЛЕРОДНЫХ НАНОТРУБОК ДЛЯ ПОЛУЧЕНИЯ ВЫСОКОДИСПЕРСНЫХ PdO—CeO₂ КОМПОЗИТНЫХ КАТАЛИЗАТОРОВ

Л.С. Кибис¹, А.Н. Коробова¹, Е.А. Федорова¹, Т.Ю. Кардаш¹, А.В. Задесенец², С.В. Коренев², О.А. Стонкус¹, Е.М. Славинская¹, О.Ю. Подъячева¹, А.И. Боронин¹

²Институт неорганической химии им. А.В. Николаева СО РАН, Новосибирск, Россия



Puc.S1. Рентгенограммы образцов после ТПР-CO+O₂ экспериментов: (1) 0.5Pd-*Imp-Am*-AR, (2) 0.5Pd-*Co-imp-W*-AR, (3) 0.5Pd-*Co-imp-Ac-Gu-II*-AR, (4) 0.5Pd-*Co-imp-Ac-Gu-II*-AR, (5) 6Pd-*Imp-Am*-AR, (6) 6Pd-*Co-imp-Ac*-AR.

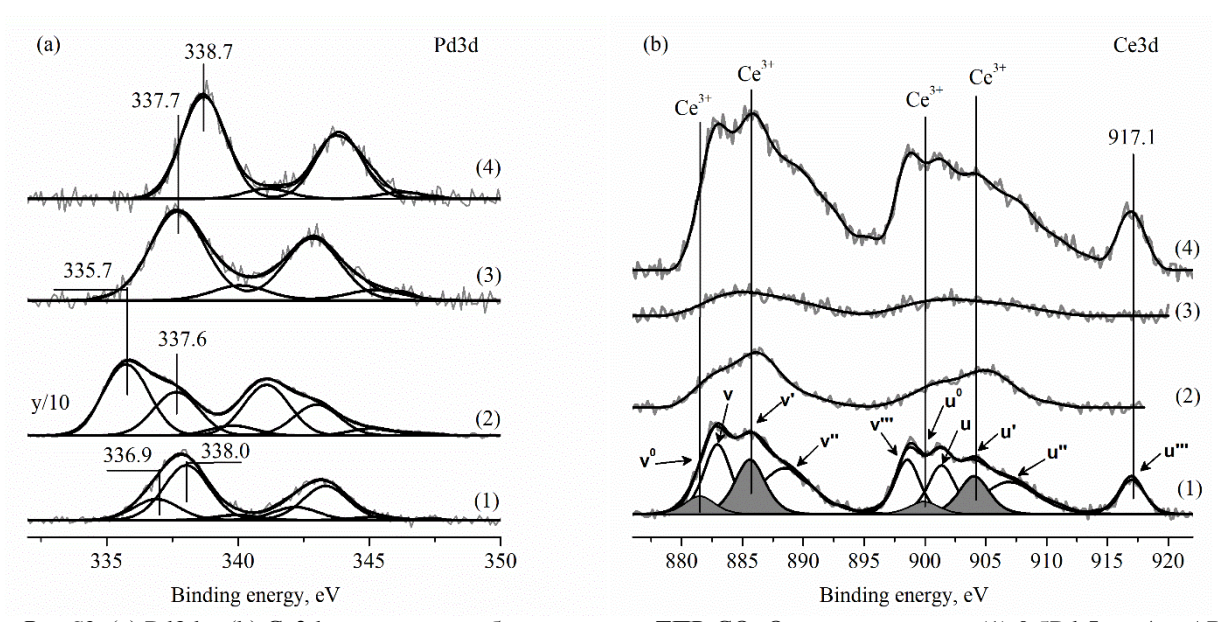
Tабл.S1. Фазовый состав* и размер ОКР данных фаз для катализаторов после ТПР-CO+O₂ экспериментов.

Образец	CeO ₂		Pd		PdO	
	ОКР, нм	W*, Bec.%	ОКР, нм	W*,	ОКР,	W*,
				вес.%	HM	вес.%
0.5Pd- Imp-Am -AR	~1.5-2	100	-	-	-	-
0.5Pd- <i>Co-imp-W-AR</i>	-	-	2.6 (3)	100	-	-
0.5Pd- <i>Co-imp-Ac-Gu-I-AR</i>	4 (1)	100	-	-	-	-
0.5Pd- <i>Co-imp-Ac-Gu-II-AR</i>	~1.8-2.3	100	-	-	-	-
6Pd- <i>Imp-Am-AR</i>	6 (1)	82 (1)	16 (1)	16 (1)	~11	2(1)
6Pd- <i>Co-imp-Ac-AR</i>	4.2 (5)	100	-	-	-	-

^{*-} за исключением фазы углерода

¹Институт катализа им. Г.К. Борескова СО РАН, Новосибирск, Россия E-mail: boronin@catalysis.ru

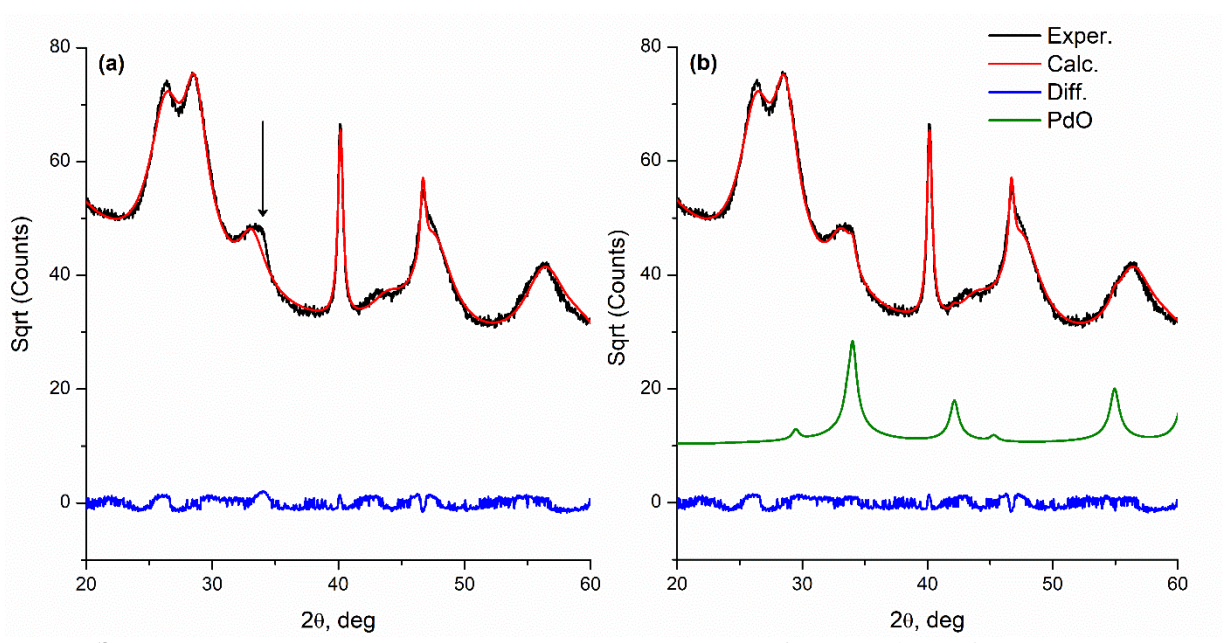
[©] Кибис Л.С., Коробова А.Н., Федорова Е.А., Кардаш Т.Ю., Задесенец А.В., Коренев С.В., Стонкус О.А., Славинская Е.М., Подъячева О.Ю., Боронин А.И. 2022



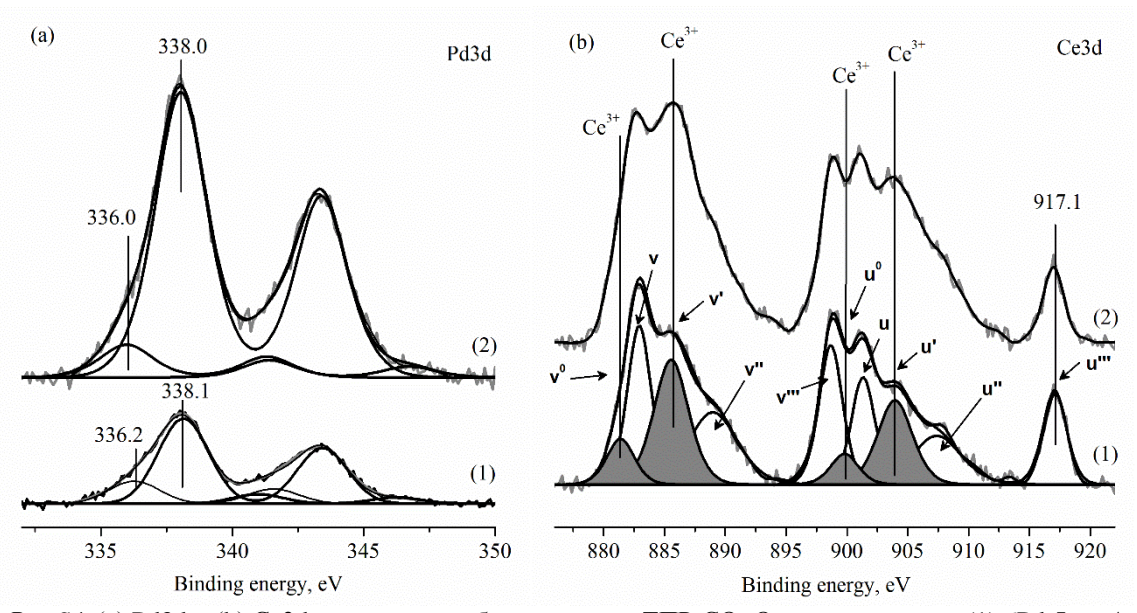
Puc.S2. (a) Pd3d и (b) Ce3d спектры для образцов после TПР-CO+O₂ экспериментов (1) 0.5Pd-*Imp-Am*-AR, (2) 0.5Pd-*Co-imp-W*-AR, (3) 0.5Pd-*Co-imp-Ac-Gu-I*I-AR, (4) 0.5Pd-*Co-imp-Ac-Gu-II*-AR.

Taбл.S2. Количественные данные о составе поверхности катализаторов после ТПР-CO+O₂ экспериментов, полученные из данных РФЭС. Результаты представлены в виде атомарных соотношений элементов.

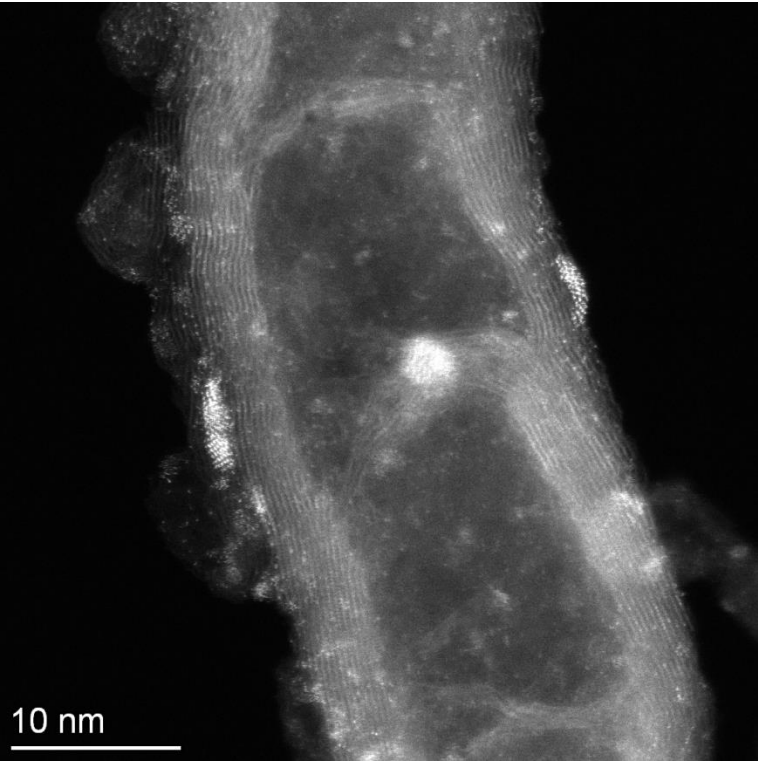
	Ce _{aт.} /C _{aт.} , %	Pd _{aт.} /C _{aт.} , %	N _{aт.} /C _{aт.} , %	O _{at.} /C _{at.} , %	Pd _{aт.} /Ce _{aт.}
0.5Pd- <i>Imp-Am-AR</i>	0.70	0.11	4.2	6.3	0.15
0.5Pd- <i>Co-imp-W-AR</i>	0.34	1.3	4.4	9.2	3.7
0.5Pd- <i>Co-imp-Ac-Gu-I-AR</i>	0.19	0.18	3.7	7.0	0.89
0.5Pd- <i>Co-imp-Ac-Gu-II</i> -AR	1.5	0.16	22	6.7	0.10
6Pd- <i>Imp-Am-AR</i>	2.4	0.4	5.2	8.4	0.15
6Pd- <i>Co-imp-Ac-AR</i>	3.0	1.1	5.8	11	0.40



Puc.S3. Экспериментальная, расчетная и разностная кривые для образца 6Pd-*Imp-Am-AR*, полученные при уточнении методом Ритвельда с использованием дополнительной фазы PdO (b) и без нее (a).



Puc.S4. (a) Pd3d и (b) Ce3d спектры для образцов после TПР-CO+O2 экспериментов (1) 6Pd-Imp-Am-AR, (2) 6Pd-Co-Imp-Ac-AR.



Puc.S5. HAADF-STEM снимок катализатора 6Pd-Imp-Am-AR, показывающий присутствие большого числа атомно-дисперсных форм Се и Pd на поверхности N-УНТ.